Beat REGANCREST-GV BEAT

0200HO02764 OBSERVER x SHOTTLE x DURHAM

REGANCREST BREYA
Dam

DE-SU OBSERVER
REGANCREST BREYA EX-90-7YR-USA GMD DOM 5*
PICSTON SHOTTLE
REGANCREST-PR BARBIE EX-92-7YR-USA GMD DOM 6*
REGANCREST ELTON DURHAM
REGANCREST JUROR BRINA EX-92-4YR-USA GMD

GTPI 2086

TL TY TV — HH1F HH2F HH3F HH4F HH5F HH6F HCDF HMWF

Num.Reg #: HOUSAM66626327	aAa:	DMS:
Nacimiento: 12/23/2010	Kappa Caseina:	Beta Caseina:

PRODUCCION 184 Rebaños 457 Hijas 93% Rep. MACE-G / 04-25

Leche lbs	Grasa lbs	Grasa %	Proteína lbs	Proteína %
-377	**-30**	**-0.06**	**-21**	**-0.03**
NM$ **-446**	CM$ **-459**	FM$ **-414**	GM$ **-453**	DWP$
Eficiencia de Conversiòn **-116**	IR **68**	Comida Ahorrada **-185**	Eficiencia Metano	

SALUD Y REPRODUCCIÓN **Immunity 93**

Vida Productiva	**-3.0**	Inmunidad crias	**92**
Células Somáticas	**2.98**	Tasa Preñez Vacas	**-1.6**
Fertilidad de las Hijas	**-1.2**	Tasa Preñez Novillas	**-0.7**
Durabilidad	**-1.8**	Facilidad de Parto	**2.6%** 82% Rep.
Durabilidad Novillas	**0.6**	Facilidad de Parto de las Hijas	**3.7%** 82% Rep.
Indice de Fertilidad	**-1.3**	Crías del Toro que Nacen Muertas	**6.6%**
		Crías de las Hijas que Nacen Muertas	**7.5%**

TIPO 149 Rebaños 340 Hijas 88% Rep. MACE / 04-25

PTAT	**0.71**	Estruct. y Capacidad	**0.72**
Compuesto Ubres	**0.48**	Estruct. Lechera	**1.00**
Compuesto Patas	**-1.08**		

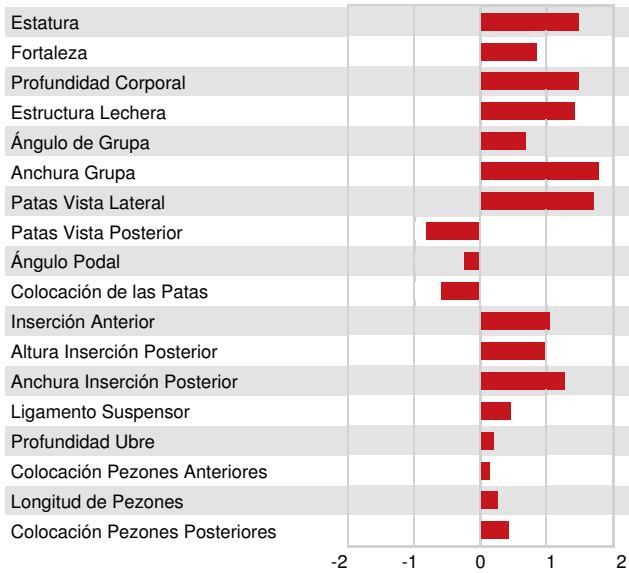

Estatura		Alta	**+1.51**
Fortaleza		Fuerte	**+0.85**
Profundidad Corporal		Profunda	**+1.50**
Estructura Lechera		Cost. Abierta	**+1.42**
Ángulo de Grupa		Isq. Bajos	**+0.69**
Anchura Grupa		Ancha	**+1.79**
Patas Vista Lateral		Curvas	**+1.72**
Patas Vista Posterior		Cerradas	**-0.83**
Ángulo Podal		Bajo	**-0.24**
Colocación de las Patas		Atrás	**-0.59**
Inserción Anterior		Fuerte	**+1.02**
Altura Inserción Posterior		Alta	**+0.99**
Anchura Inserción Posterior		Ancha	**+1.25**
Ligamento Suspensor		Fuerte	**+0.45**
Profundidad Ubre		Recogida	**+0.20**
Colocación Pezones Anteriores		Cerrados	**+0.15**
Longitud de Pezones		Largos	**+0.26**
Colocación Pezones Posteriores		Cerrados	**+0.43**